

Ф и г. 2

Ф и г. 1

Проблема устойчивости покоя в этой задаче возникает не только при $\kappa = 1$, но и при $s = 0$ (идеальная сфера). В этом случае $s_1 \equiv s_3 \equiv 0$ и наши результаты совпадают с известными итогами решения соответствующих задач [1].

Для сравнения с экспериментом [4] и для графической иллюстрации теории рассмотрен случай почти сферической полости в плексиглазе, заполненной водой ($\kappa = 3,26$, $Pr = 7$). Соответствующие графики зависимости ε от Ra представлены на фиг. 1 ($s = 0; 0,01; 0,1$, кривые 1—3 соответственно). Кривые, как и следовало ожидать, имеют характерный для такого рода задач вид [5]. (Движения и их устойчивость для отрицательных значений ε при $Ra > Ra_*$ исследованы в общем виде в [5], и здесь эти вопросы не рассматриваются.) Фиг. 2 иллюстрирует зависимость числа Нуссельта (безразмерный конвективный теплопоток через полость) от чисел Рэлея Ra для идеальной сферы $s \equiv 0$ (теория — сплошная линия; область, в которой лежат экспериментальные точки [4], заштрихована). Теория дает вблизи Ra_* линейную зависимость $Nu - 1$ от $Ra - Ra_*$, что отличается от выводов экспериментальной работы [4].

Поступила 30 III 1982

ЛИТЕРАТУРА

1. Гершуни Г. З., Жуховицкий Е. М. Конвективная устойчивость несжимаемой жидкости. М.: Наука, 1972.
2. Сорокин В. С. Замечания о шаровых электромагнитных волнах. — ЖЭТФ, 1948, т. 18, вып. 2.
3. Братухин Ю. К., Шлиomis М. И. Об одном точном решении уравнений нестационарной конвекции. — ПММ, 1964, т. 28, № 5.
4. Овчинников А. П., Шайдуров Г. Ф. Конвективная устойчивость однородной жидкости в шаровой полости. — Учен. зап. Перм. ун-та, 1968, № 184.
5. Чернатыйский В. И., Шлиomis М. И. Конвекция вблизи критических чисел Рэлея при почти вертикальном градиенте температуры. — Изв. АН СССР. МЖГ, 1973, № 1.

УДК 532.526.013

ВОЗБУЖДЕНИЕ ВОЛН НЕУСТОЙЧИВОСТИ В ПОГРАНИЧНОМ СЛОЕ НА ВИБРИРУЮЩЕЙ ПОВЕРХНОСТИ

А. М. Тумин, А. В. Федоров

(Москва)

Современные представления [1] о переходе ламинарного пограничного слоя в турбулентный позволяют сформулировать метод расчета критических чисел Рейнольдса перехода, заключающийся в анализе развития неустойчивых возмущений в пограничном слое и в определении сечения, в котором их амплитуда впервые достигает критического значения. При этом для построения замкнутой схемы расчета требуется решение задачи о возбуждении в пограничном слое так называемых неустойчивых волн Толлмина-Шлихтинга. В экспериментальных и теоретических исследованиях [2—6] получено, что волны Толлмина — Шлихтинга могут возникать на различного рода неоднородностях течения (острая передняя кромка модели, отдельная шероховатость на

обтекаемой поверхности, локализованное воздействие на пограничный слой). Эти результаты достаточно подробно представлены в [7]. В [8] предлагался механизм генерации адиабатического типа, обусловленный естественной слабой неоднородностью течения в пограничном слое на гладкой обтекаемой поверхности. Для решения прикладных задач требуется подробный качественный и количественный анализ различных типов возбуждения волн Толлмина — Шлихтинга.

В данной работе рассматривается генерация неустойчивых волн в пограничном слое на вибрирующей поверхности. На возможность постановки такой задачи указывалось в [4].

Постановка задачи. Рассмотрим течение в двумерном пограничном слое. Для простоты записи конкретных уравнений будем предполагать течение несжимаемым. Ниже будут указаны несущественные отличия, возникающие при рассмотрении течений сжимаемого газа. Выберем в качестве системы координат: x — расстояние от передней кромки модели вниз по потоку вдоль обтекаемой поверхности, y — расстояние по нормали от нее; в качестве характерных масштабов: по координате x — некоторое расстояние x_0 , по координате y — $\sqrt{\nu x_0/U_0}$, где ν — кинематический коэффициент вязкости, U_0 — характерная скорость внешнего течения. Будем измерять время в единицах $\sqrt{\nu x_0}/U_0^{3/2}$, давление — в единицах $\rho_0 U_0^2$, где ρ_0 — плотность. Предположим, что основное течение в отсутствие возмущений является слабонеоднородным, т. е. для продольной и нормальной компонент скоростей U и V^* соответственно имеют место соотношения $U = U(x, y)$, $V^* = \varepsilon V(x, y)$, $\varepsilon = \text{Re}^{-1} = \sqrt{\nu/U_0 x_0} \ll 1$. Линеаризованные уравнения Навье — Стокса после преобразования Фурье по времени запишем в виде [8]

$$(1) \quad \frac{\partial \mathbf{A}}{\partial y} - H_1 \mathbf{A} = \varepsilon H_2 \frac{\partial \mathbf{A}}{\partial x} + \varepsilon H_3 \mathbf{A},$$

где $\mathbf{A}(x, y)$ — вектор-функция, состоящая из четырех компонент: A_1 — возмущения x -компоненты скорости, A_2 — возмущение давления, A_3 — возмущение y -компоненты скорости, $A_4 = \partial A_1 / \partial y - \varepsilon \partial A_3 / \partial x$;

$$H_1 = \begin{vmatrix} 0 & 0 & 0 & 1 \\ 0 & 0 & i\omega & 0 \\ 0 & 0 & 0 & 0 \\ -i\omega \text{Re} & 0 & \text{Re} U' & 0 \end{vmatrix}; \quad H_2 = \begin{vmatrix} 0 & 0 & 1 & 0 \\ 0 & 0 & -U & \text{Re}^{-1} \\ -1 & 0 & 0 & 0 \\ \text{Re} U & \text{Re} & 0 & 0 \end{vmatrix},$$

где ω — частота возмущения; $U' = \partial U / \partial y$. Матрица H_3 в (1) содержит лишь члены, пропорциональные $\partial U / \partial x$, V , $\partial V / \partial y$, и связана со слабой непараллельностью течения в пограничном слое. Предположим, что в некотором сечении заданы начальные данные в виде вектор-функции

$$(2) \quad \mathbf{A}(x_1, y) = \mathbf{A}_0(y).$$

Вибрацию обтекаемой поверхности на анализируемом участке будем моделировать в виде бегущей волны с малой амплитудой. Для рассматриваемой фурье-гармоники по времени уравнение поверхности $y_w(x)$ представим как $y_w = a \exp [i\alpha_0(x - x_1)/\varepsilon]$, где $\alpha_0 > 0$; x_1 — некоторая фиксированная координата. Наш выбор характерных масштабов соответствует тому, что волновое число α_0 измеряется в единицах $\sqrt{U_0/\nu x_0}$ и рассматриваемые длины волн имеют порядок толщины пограничного слоя и малы по сравнению с x_0 . На обтекаемой поверхности должно выполняться условие прилипания для скорости возмущенного течения. Считая, что амплитуда вибрации мала по сравнению с ее длиной волны, получим уравнения

$$(3) \quad U'_w y_w(x) e^{-i\omega t} + A_1(x, 0) e^{-i\omega t} = O(a^2), \\ A_3(x, 0) e^{-i\omega t} = \frac{\partial}{\partial x} [y_w(x) e^{-i\omega t}] + O(a^2), \quad U'_w = \frac{\partial U}{\partial y}(x, 0).$$

Таким образом, граничные условия для системы (1) принимают вид

$$(3a) \quad A_1(x, 0) = -a U'_w \exp [i\alpha_0(x - x_1)/\varepsilon], \\ A_3(x, 0) = -i\omega a \exp [i\alpha_0(x - x_1)/\varepsilon].$$

При $y \rightarrow \infty$ будем предполагать ограниченность решения:

$$(4) \quad |A_j| < \infty, \quad j = 1, \dots, 4.$$

Сформулированная задача (1)–(4), вообще говоря, некорректна. Поэтому на начальные данные A_0 накладываются условия, что они допускают решение с конечным показателем роста. Практически это требование регуляризации сводится к тому, что предполагается ортогональность начальных данных к собственным функциям линеаризованных уравнений Навье — Стокса, относящимся к возмущениям, распространяющимся вверх по потоку, и в дальнейшем анализе такие решения не рассматривают [9, 10].

Биортогональная система векторов. Решение задачи (1)–(4) для случая, когда основное течение является слабонеоднородным по координате x , будет представлено в виде разложения по биортогональной системе векторов локально-однородной задачи $\{A_\alpha(x, y), B_\alpha(x, y)\}$, сформулированной в [8, 9]:

$$(5) \quad \begin{aligned} \partial A_\alpha / \partial y - H_1 A_\alpha &= i\alpha H_2 A_\alpha, \\ y = 0, A_{\alpha 1} = A_{\alpha 3} &= 0, y \rightarrow \infty, |A_{\alpha j}| < \infty, j = 1, \dots, 4; \end{aligned}$$

$$(6) \quad \begin{aligned} -\frac{\partial B_\alpha}{\partial y} + H_1^* B_\alpha &= i\tilde{\alpha} H_2^* B_\alpha, \\ y = 0, B_{\alpha 2} = B_{\alpha 4} &= 0, y \rightarrow \infty, |B_{\alpha j}| < \infty, j = 1, \dots, 4, \end{aligned}$$

где * означает транспонированную и комплексно-сопряженную матрицу; \sim — комплексное сопряжение; индекс α определяет принадлежность собственной вектор-функции собственному значению α . Системы уравнений (5), (6) зависят от x как от параметра. Они имеют четыре линейно-независимых решения, асимптотические зависимости от y которых вне пограничного слоя представляются в виде

$$z_1 \sim e^{-\alpha y}, \quad z_2 \sim e^{\alpha y}, \quad z_3 \sim e^{\lambda y}, \quad z_4 \sim e^{-\lambda y}, \quad \lambda = \sqrt{\alpha^2 + i\text{Re}(\alpha - \omega)}.$$

Для определенности выберем ветвь $\text{Real}(\lambda) < 0$. Системы уравнений (5), (6) допускают четыре типа решений из непрерывного спектра и один из дискретного [8, 9]. Дискретный спектр соответствует волнам Толлмина — Шлихтинга, для которых решение можно записать в виде линейной комбинации $A_{TS} = C_1 z_1 + C_3 z_3$. При этом $\alpha_{TS}(x)$ находится из дисперсионного соотношения

$$E_{13}(\alpha_{TS}) = (z_{11} z_{33} - z_{13} z_{31})_{y=0} = 0,$$

где z_{ij} означает i -ю компоненту j -го вектора. В непрерывном спектре имеются волны с $\alpha = \pm ik$, $\alpha = -\frac{i\text{Re}}{2} \left[1 \pm \sqrt{1 + \frac{4k^2}{\text{Re}^2} - \frac{4i\omega}{\text{Re}}} \right]$, где k — произвольное положительное число [8, 9]. Две из них соответствуют волнам, распространяющимся вверх по потоку и имеющим экспоненциальный рост при $x \rightarrow \infty$. Имеют место следующие соотношения ортогональности:

$$\langle H_2 A_\alpha, B_\beta \rangle = \Delta_{\alpha\beta}, \quad \langle A, B \rangle = \int_0^\infty (A, B) dy, \quad (A, B) = \sum_{j=1}^4 A_j \tilde{B}_j,$$

где $\Delta_{\alpha\beta}$ означает символ Кронекера, когда одно из чисел (α, β) относится к дискретному спектру; $\Delta_{\alpha\beta} = \delta(\alpha - \beta)$ — дельта-функция, когда оба числа (α, β) относятся к непрерывному спектру [8, 9].

Чтобы построить в дальнейшем решение системы (1) в виде разложения по собственным векторам A_α , необходимо дополнить (5), (6) неоднородным при $y = 0$ решением A_v . Вне резонанса ($\alpha_0 \neq \alpha_{TS}$) построим вектор $A_v(x, y)$ с помощью уравнения

$$(7) \quad \begin{aligned} \partial A_v / \partial y - H_1 A_v &= i\alpha_0 H_2 A_v, \\ y = 0, A_{v1} = -aU'_w, \quad A_{v3} &= -ia\omega, \quad y \rightarrow \infty, |A_{vj}| \rightarrow 0, \quad j = 1, \dots, 4. \end{aligned}$$

Решение уравнения (7) можно записать в виде

$$(8) \quad \mathbf{A}_v = \frac{\varepsilon}{E_{13}} [(z_{13} i \omega - U'_w z_{33}) \mathbf{z}_1 + (z_{31} U'_w - i \omega z_{11}) \mathbf{z}_3],$$

где z_{ij} вычисляются при $y = 0$. Легко показать, что имеет место соотношение

$$(9) \quad \langle H_2 \mathbf{A}_v, \mathbf{B}_\alpha \rangle i(\alpha_0 - \alpha) + (\mathbf{A}_v, \mathbf{B}_\alpha)_{y=0} = 0,$$

где α принадлежит к одному из спектров решений (5), (6).

Построение решения системы (1). Будем искать решение задачи (1) — (4) в виде

$$(10) \quad \mathbf{A}(x, y) = \sum'_{\alpha} c_{\alpha}(x) \mathbf{A}_{\alpha}(x, y) + \mathbf{A}_v(x, y) \exp\left(i \int_{x_1}^{\infty} \frac{\alpha_0}{\varepsilon} dx\right),$$

где Σ' означает суммирование по дискретному и интегрирование по непрерывному спектрам. Подставляя (10) в (1), можно получить систему уравнений для определения $c_{\alpha}(x)$, для которых начальные значения $c_{\alpha}(x_1)$ будут определяться из \mathbf{A}_0 :

$$(11) \quad c_{\alpha}(x_1) = \langle H_2 (\mathbf{A}_0 - \mathbf{A}_v), \mathbf{B}_{\alpha} \rangle_{x=x_1}.$$

Нас будет интересовать генерация волн Толлмина — Шлихтинга в результате вибрации обтекаемой поверхности. Как увидим ниже, она будет весьма интенсивной благодаря предположению о наличии точки резонанса x_* , где $\alpha_0 = \alpha_{TS}(x_*)$. Из всех возможных постановок задачи о генерации волны Толлмина — Шлихтинга в пограничном слое на вибрирующей поверхности будем рассматривать резонансный случай, когда x_* является точкой потери устойчивости течения. Это объясняется тем, что при прочих равных условиях наибольшие коэффициенты усиления достигаются именно для волны, возбуждаемой в окрестности $x = x_*$. Как показывают численные расчеты, в случае плоской пластины в несжимаемой жидкости [11] (см. также численный пример в сжимаемом газе) на интервале течения от передней кромки до точки потери устойчивости имеет место сильное затухание волн Толлмина — Шлихтинга. Поэтому если начальное сечение выбрано достаточно близко к передней кромке, а начальная амплитуда $c_{TS}(x_1)$, определяемая из (11), имеет порядок единицы, то конечный результат с хорошей степенью точности не изменится, если положить $c_{TS}(x_1) = 0$. Представим амплитуду $c_{TS}(x)$ в виде

$$(12) \quad c_{TS}(x) = q(x) K(x) \exp\left[i \int_{x_1}^x W(x) dx\right], \quad K(x) = \exp\left[i \int_{x_1}^x \frac{\alpha_{TS}}{\varepsilon} dx\right],$$

$$iW(x) = -\langle H_3 \mathbf{A}_{TS}, \mathbf{B}_{TS} \rangle - \left\langle H_2 \frac{\partial \mathbf{A}_{TS}}{\partial x}, \mathbf{B}_{TS} \right\rangle.$$

Тогда для $q(x)$ имеем

$$(13) \quad \frac{dq}{dx} = -\left[\left\langle H_2 \frac{\partial \mathbf{A}_v}{\partial x}, \mathbf{B}_{TS} \right\rangle + \langle H_3 \mathbf{A}_v, \mathbf{B}_{TS} \rangle\right] \exp[i\theta(x)],$$

$$\theta(x) = \int_{x_1}^x \left[\frac{(\alpha_0 - \alpha_{TS})}{\varepsilon} - W(x)\right] dx.$$

Решая уравнение (13) с нулевыми начальными данными, запишем

$$(14) \quad \mathbf{A} = \mathbf{A}_v \exp\left[i \int_{x_1}^x \frac{\alpha_0}{\varepsilon} dx\right] - \int_{x_1}^x \left[\left\langle H_2 \frac{\partial \mathbf{A}_v}{\partial x}, \mathbf{B}_{TS} \right\rangle + \langle H_3 \mathbf{A}_v, \mathbf{B}_{TS} \rangle\right] e^{i\theta} dx e^{i\theta_{TS}} \mathbf{A}_{TS},$$

$$\theta_{TS}(x) = \int_{x_1}^x \left(\frac{c_{TS}}{\varepsilon} + W \right) dx.$$

Решение (8) в окрестности точки резонанса является непригодным, так как при $x = x_*$ функция $E_{13}(\alpha_0)$ в (8) обращается в нуль. В случае резонанса ($\alpha_0 = \alpha_{TS}$) решение задачи с неоднородными граничными условиями при $y = 0$ должно обязательно содержать одновременно A_{TS} и некоторую вектор-функцию, обеспечивающую удовлетворение граничных условий при $y = 0$. Именно поэтому мы выписали для анализа суммарное решение A (14), так как оно оказывается равномерно пригодным при всех x .

Введем для удобства вектор $Q(x, y)$, регулярный при $x = x_*$, определяемый равенством

$$(15) \quad A_v = Q(x, y)/(x - x_*).$$

Непосредственным вычислением можно убедиться, что при $x = x_*$ выполнены соотношения $Q_1(x_*, 0) = Q_3(x_*, 0) = 0$, т. е. в точке $x = x_*$ $Q \sim \sim A_{TS}$. Без ограничения общности выбираем нормировку A_{TS} так, что $Q(x_*, y) = A_{TS}(x_*, y)$. Выбором нормировки B_{TS} всегда можно обеспечить равенство

$$(16) \quad \langle H_2 A_{TS}, B_{TS} \rangle = 1.$$

Выделим явно сингулярную часть, зависящую от «медленной» переменной x из подынтегрального выражения в (14). Для этого рассмотрим разложение при $x \rightarrow x_*$:

$$(17) \quad \left[\left\langle H_2 \frac{\partial A_v}{\partial x}, B_{TS} \right\rangle + \langle H_3 A_v, B_{TS} \rangle \right] \exp \left[-i \int_{x_1}^x W dx \right] = \\ = \left[\frac{\left\langle H_2 \frac{\partial Q}{\partial x}, B_{TS} \right\rangle}{x - x_*} - \frac{\langle H_2 Q, B_{TS} \rangle}{(x - x_*)^2} + \frac{\langle H_3 Q, B_{TS} \rangle}{x - x_*} \right] \exp \left[-i \int_{x_1}^x W dx \right] \simeq \\ \simeq \left[-\frac{\langle H_2 Q, B_{TS} \rangle_*}{(x - x_*)^2} - \frac{\left\langle \frac{\partial H_2}{\partial x} Q, B_{TS} \right\rangle_*}{x - x_*} - \frac{\left\langle H_2 Q, \frac{\partial B_{TS}}{\partial x} \right\rangle_*}{x - x_*} + \frac{\langle H_3 Q, B_{TS} \rangle_*}{x - x_*} + \right. \\ \left. + \frac{\langle H_2 Q, B_{TS} \rangle_*}{x - x_*} iW(x_*) + O(1) \right] \exp \left[-i \int_{x_1}^{x_*} W(x) dx \right],$$

где индекс * означает, что скалярное произведение вычисляется при $x = x_*$. Используя (16) и определение W в (12), получим, что выражение (17)

дает асимптотику $\sim -\exp \left[-i \int_{x_1}^{x_*} W dx \right] / (x - x_*)^2 + O(1)$:

$$(18) \quad A(x, y) = \left[F(x, \varepsilon) + \frac{\exp \left(-i \int_{x_1}^{x_*} W dx \right)}{x_1 - x_*} \right] e^{i\theta_{TS}} A_{TS} + \\ + \frac{\left[Q(x, y) - A_{TS} \exp \left(+i \int_{x_*}^x W dx \right) \right]}{x - x_*} \exp \left(i \int_{x_1}^x \frac{x_0}{\varepsilon} dx \right) + D(x, \varepsilon) A_{TS} e^{i\theta_{TS}}, \\ F(x, \varepsilon) = - \int_{x_1}^x \left[\left\langle H_2 \frac{\partial A_v}{\partial x}, B_{TS} \right\rangle + \langle H_3 A_v, B_{TS} \rangle \right] \exp \left(-i \int_{x_1}^x W dx \right) +$$

$$\begin{aligned}
& + \frac{\exp\left(-i \int_{x_1}^{x_*} W dx\right)}{(x-x_*)^2} \left] \exp\left[i \int_{x_1}^x \frac{(\alpha_0 - \alpha_{TS})}{\varepsilon} dx\right] dx, \\
D(x, \varepsilon) = & i \int_{x_1}^x \frac{(\alpha_0 - \alpha_{TS})}{\varepsilon(x-x_*)} \exp\left[i \int_{x_1}^x \frac{(\alpha_0 - \alpha_{TS})}{\varepsilon} dx\right] dx \exp\left(-i \int_{x_1}^{x_*} W dx\right).
\end{aligned}$$

Можно убедиться, что решение (18) регулярно при $x = x_*$ и удовлетворяет неоднородным граничным условиям при $y = 0$ для всех $x \neq x_*$. Учитывая, что A_{TS} определяется с однородными граничными условиями при $y = 0$ для всех x , получаем $\partial A_{TS1}/\partial x = \partial A_{TS3}/\partial x = 0$ при $y = 0$. Следовательно, чтобы доказать, что решение (18) удовлетворяет граничным условиям при $y = 0$ и в точке $x = x_*$, необходимо рассмотреть разложение (18) в окрестности x_* и убедиться, что слагаемое с $\partial Q(x_*, 0)/\partial x$ обеспечивает выполнение граничных условий и при $x = x_*$. Эта проверка выполняется непосредственными вычислениями исходя из определения Q в (15), выражения (8) для A_v с учетом, что $E_{13}(\alpha_0) = 0$ при $x = x_*$. Таким образом, решение задачи (1)–(4) построено.

Асимптотическая оценка амплитуды волны Толлмина — Шлихтинга. Подынтегральные выражения в F и D из (18) содержат множитель $\exp\left(i \int_{x_1}^x \frac{\alpha_0 - \alpha_{TS}}{\varepsilon} dx\right)$, который позволяет получить асимптотические оценки при $\varepsilon \rightarrow 0$. В окрестности $x = x_*$ имеем

$$i(\alpha_0 - \alpha_{TS}) = -i \frac{d\alpha_{TS}}{dx}(x_*)(x - x_*) + O[(x - x_*)^2],$$

причем $\text{Real}\left(i \frac{d\alpha_{TS}}{dx}\right) > 0$. Легко получить при $x - x_* \gg \sqrt{\varepsilon}$ [12], что $F \sim \sqrt{\varepsilon}$, $D \sim 1/\sqrt{\varepsilon}$, т. е. основной вклад в амплитуду волны Толлмина — Шлихтинга в решение (18) дает слагаемое с множителем $D(x, \varepsilon)$, которое достигает своего значения $\sim i/\sqrt{\varepsilon}$ в окрестности x_* . Используя (9), при $x \rightarrow x_*$ получим

$$i \frac{d\alpha_{TS}}{dx}(x_*) = -a (U'_w B_{TS1} + i\omega B_{TS3})_{y=0, x=x_*}.$$

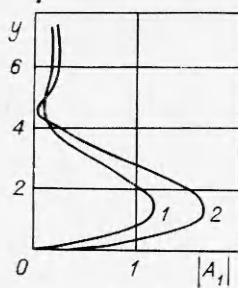
Тогда основное слагаемое в (18) при $x - x_* \gg \sqrt{\varepsilon}$, описывающее возбужденную волну Толлмина — Шлихтинга, можно записать в виде

$$g \exp\left[i \int_{x_*}^x \left(\frac{\alpha_{TS}}{\varepsilon} + W\right) dx\right] A_{TS},$$

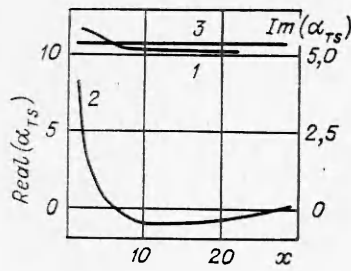
где амплитуда g определяется с помощью метода перевала [12]. Для $|g|/a$ получаем выражение

$$(19) \quad \frac{|g|}{a} = \frac{1}{\sqrt{\varepsilon}} \sqrt{\frac{2\pi}{\left|\frac{d\alpha_{TS}}{dx}(x_*)\right|}} (U'_w B_{TS1} + i\omega B_{TS3})_{y=0, x=x_*}.$$

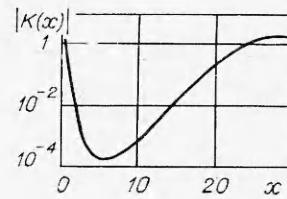
Учет сжимаемости. Численный пример. Рассмотрение сжимаемых течений приведет лишь к изменению конкретного вида матриц H_1, H_2, H_3 в (1) и определения вектора A . В формулировке граничных условий при $y = 0$ в (5), (7) при обтекании поверхности из высокотеплопроводного материала необходимо потребовать равенства нулю возмущения температуры. При этом фундаментальная система решений для (5), (6) будет состоять из шести линейно-независимых векторов [13], что приведет к изменению конкретного вида A_v в (8). Типы собственных решений (5) для сжимаемых течений рассмотрены в [10]. Однако весь асимптотический



Фиг. 1



Фиг. 2



Фиг. 3

анализ остается прежним, и результат (19) остается справедливым, если считать, что первая и третья компоненты в векторе \mathbf{A} соответствуют возмущениям продольной и нормальной по отношению к поверхности скоростей. В данной работе проведен численный расчет для случая вибрирующей поверхности теплоизолированной пластины при числе Прандтля 0,72, температуре торможения набегающего потока 310 К, числе Маха на внешней границе пограничного слоя 0,6 в предположении, что коэффициент вязкости зависит от температуры по формуле Сазерленда. На фиг. 1 приведена зависимость $|A_{TS1}|$ и $|A_{v1}|$ от y при $Re = 800$ и безразмерном частотном параметре $f = \omega \mu_0 / \rho_0 U_0^2 = 20 \cdot 10^{-6}$ (μ_0 — коэффициент вязкости в набегающем потоке; кривые 1, 2 соответственно). Расчет соответствует $x = 1$, $a = 1,2$ и $\partial A_{TS1} / \partial y = 2$ при $y = 0$. На фиг. 2 представлены $Real(\alpha_{TS})$ и $Im(\alpha_{TS})$ (кривые 1, 2 соответственно) для частотного параметра $f = 20 \cdot 10^{-6}$ и при выборе параметра $Re = 400$, а также зависимость α_0 от x (кривая 3). На фиг. 3 приведена зависимость $|K|$ из (12) при тех же значениях параметров для $x_1 = 0,42$, которая подтверждает высказанные выше соображения о возможном пренебрежении $c_{TS}(x_1)$ (волна Толлмина — Шлихтинга, возбужденная в окрестности передней кромки).

Выражение (19) для амплитуды возбужденной волны Толлмина — Шлихтинга не является инвариантным относительно выбора нормировки собственных функций \mathbf{A}_{TS} , \mathbf{B}_{TS} . Чтобы получить инвариантную величину, выражение (19) необходимо умножить на $|F_{TS} / \langle H_2 \mathbf{A}_{TS}, \mathbf{B}_{TS} \rangle|$, где F_{TS} — амплитуда возмущения интересующей нас физической величины, вычисленная по компонентам собственного вектора \mathbf{A}_{TS} . В данной работе в качестве F_{TS} выбиралась x -компонента возмущения массового расхода в окрестности его максимума. Результаты расчетов при различных частотных параметрах f приведены в таблице. Указаны значения параметра Re , соответствующие выбору $x_0 = x_*$, и приведены резонансные значения α_0 . Величина q_m равна амплитуде возмущения продольной компоненты массового расхода в окрестности его максимума для возбужденной волны Толлмина — Шлихтинга.

$f \cdot 10^6$	Re	$\alpha_0 \cdot 10^2$	$ q_m /a$
20	962	6,45	2,14
40	645	7,85	1,77
60	515	8,89	1,57

В данной работе при формулировке граничных условий (3) отбрасывались члены $\sim O(a^2)$ и считалось, что профили скорости и температуры основного течения совпадают с соответствующими профилями при отсутствии вибрации. Этот вопрос подробно рассматривался асимптотическими методами в [14], где показано, что такое приближение справедливо для $a \ll \delta_n$, где $\delta_n = (\omega Re)^{-1/2}$ — толщина вязкого пристеночного слоя. При таком ограничении будет выполнено неравенство $c_{TS} \ll 1$, что согласуется с линейной постановкой рассмотренной задачи.

Авторы выражают свою признательность В. Н. Жигулеву за внимание к работе и обсуждение полученных результатов.

Поступила 26 IV 1982

ЛИТЕРАТУРА

1. Жигулев В. Н. Проблема определения критических чисел Рейнольдса перехода ламинарного пограничного слоя в турбулентный. — В кн.: Механика неоднородных сред. Новосибирск: изд. ИТПМ СО АН СССР, 1981.
2. Качанов Ю. С., Козлов В. В., Левченко В. Я., Максимов В. П. Преобразование внешних возмущений в волны пограничного слоя. — Численные методы механики сплошной среды, 1978, т. 9, № 2.
3. Довгаль А. В., Козлов В. В., Левченко В. Я. Экспериментальное исследование реакции пограничного слоя на внешние периодические возмущения. — Изв. АН СССР. МЖГ, 1980, № 4.
4. Айзин Л. Б., Поляков Н. Ф. Генерация волны Толлмина — Шлихтинга звуком на отдельной неровности поверхности, обтекаемой потоком. — Препринт № 17. Новосибирск: изд. ИТПМ СО АН СССР, 1979.
5. Fasel H. Reaktion von zweidimensional laminaren, inkompressiblen Grenzschichten auf periodische Störungen in der Aussenströmung. — ZAMM, 1977, Bd 57, H. 5.
6. Максимов В. П. Возникновение волн Толлмина — Шлихтинга в осциллирующих пограничных слоях. — В кн.: Развитие возмущений в пограничном слое. Новосибирск: изд. ИТПМ СО АН СССР, 1979.
7. Качанов Ю. С., Козлов В. В., Левченко В. Я. Возникновение турбулентности в пограничном слое. Новосибирск: Наука, 1982.
8. Жигулев В. Н., Сидоренко Н. В., Тумин А. М. О генерации волн неустойчивости в пограничном слое внешней турбулентностью. — ПМТФ, 1980, № 6.
9. Salwen H., Grosh C. E. The continuous spectrum of the Orr — Sommerfeld equation. Pt 2. Eigenfunction expansions. — J. Fluid Mech., 1981, vol. 104, pt 1.
10. Сидоренко Н. В., Тумин А. М. Гидродинамическая устойчивость течений в пограничном слое сжимаемого газа. — В кн.: Механика неоднородных сред. Новосибирск: изд. ИТПМ СО АН СССР, 1981.
11. Тумин А. М., Шепелев В. Е. Численный анализ развития возмущений в несжимаемом пограничном слое на плоской пластине. — Численные методы механики сплошной среды, 1980, т. 11, № 3.
12. Евграфов М. А. Асимптотические оценки и целые функции. М.: Физматгиз, 1962.
13. Гапонов С. А., Маслов А. А. Развитие возмущений в сжимаемых потоках. Новосибирск: Наука, 1980.
14. Терентьев Е. Д. Расчет давления в линейной задаче о вибраторе в сверхзвуковом пограничном слое. — ПММ, 1979, т. 43, вып. 6.

УДК 534.2 : 532, 532 : 526

ВОЗБУЖДЕНИЕ ВОЛН ТОЛЛМИНА — ШЛИХТИНГА ПРИ РАССЕЯНИИ АКУСТИЧЕСКИХ И ВИХРЕВЫХ ВОЗМУЩЕНИЙ В ПОГРАНИЧНОМ СЛОЕ НА ВОЛНИСТОЙ ПОВЕРХНОСТИ

Н. А. Завольский, В. П. Реутов, Г. В. Рыбушкина

(Горький)

Как известно, возбуждение волн Толлмина — Шлихтинга акустическими и вихревыми полями может существенно влиять на переход к турбулентному течению в пограничном слое. Большое число работ посвящено исследованию процесса возбуждения волн Толлмина — Шлихтинга (ТШ-волн) в пограничном слое на пластине с гладкой поверхностью (см. [1, 2]). Лабораторные и численные эксперименты показали, что волны пограничного слоя возникают в окрестности передней кромки пластины [1, 3, 4]. Появление ТШ-волн можно рассматривать как результат рассеяния внешнего поля на сосредоточенной неоднородности — передней кромке пластины. Распределенное возбуждение на самой пластине не было обнаружено [3]. Причина состоит в том, что распределенное возбуждение на гладкой пластине может быть вызвано только линейным взаимодействием внешних возмущений с волнами пограничного слоя, которое неэффективно ввиду большого различия фазовых скоростей.

Ниже исследуется возбуждение ТШ-волн при рассеянии акустических и вихревых возмущений в пограничном слое на поверхности с распределенной волнистостью, характерный масштаб которой в направлении течения меньше или порядка длины ТШ-волны. Суть процесса рассеяния сводится к комбинационному сложению гармоник пространственного спектра неоднородности с гармониками внешнего поля. При этом в объеме пограничного слоя и на поверхности пластины возникают комбинационные «силы», которые могут быть в резонансе с индуцированной волной, несмотря на отсутствие резонанса этой волны с внешним полем. В случае распределенной неоднородности происходит пространственное накопление эффекта рассеяния (распределенная генерация). Интерес к данному механизму вызван рядом причин. Во-первых, после возникновения волны на передней кромке пластины она успевает сильно затухнуть на